ISSN 0716-2073
Vol. 148 N° 08- 2026

Boletín Climatológico

Chile

Dirección Meteorológica de Chile
Subdepartamento de Climatología y Meteorología Aplicada
Sección Climatología

Elaboración: Angélica Guzmán Manríquez & Eliana Moath Rodríguez

Edición: Juan Crespo Fuentes

Elaborado y editado por la Sección de Climatología de la Dirección Meteorológica de Chile

Portada: Caleta Portales, Valparaíso. Región de Valparaíso

Fotografía: Angélica Guzmán Manríquez

Dirección Meteorológica de Chile - DMC
Av. Portales 3450 Estación Central; Casilla 140, Sucursal Paseo Estación Central Santiago,
Teléfono: 56 2 24364501

Correo Postal Casilla 140. Sucursal Matucana. Estación Central

web: https://www.meteochile.gob.cl/PortalDMC-web/index.xhtml

www.facebook.com/meteochiledmc

https://twitter.com/meteochile_dmc

https://www.instagram.com/meteochile/

Boletín Climatológico

La edición del Boletín Climatológico de la Dirección Meteorológica de Chile (www.meteochile.gob.cl), nace de los requerimientos de información climática necesaria para la planificación de las diversas actividades del quehacer nacional, así como de la comunidad en general, contribuyendo además al entendimiento del comportamiento mensual de las variables climatológicas.

El resumen climatológico entrega una visión general del comportamiento climático del mes.

La primera sección, analiza la descripción sinóptica general de la atmósfera en niveles medios y superficie. A continuación, se presenta el comportamiento mensual de las variables de temperatura media, máxima y mínima, junto con el comportamiento pluviométrico y el índice de radiación ultravioleta del país.

En una sección aparte, se relatan los fenómenos meteorológicos que generaron registros de valores climáticos significativos y anormales, entregándose una breve descripción del evento.

Como anexo, se incluye una tabla climatológica mensual de las principales estaciones meteorológicas del país, con los valores de las variables de precipitación, temperatura media, máxima y mínima, que la Dirección Meteorológica de Chile (www.meteochile.gob.cl), pone a disposición de la comunidad. a modo de proveer información climática y para obtener un mejor beneficio de los recursos climáticos del país.

DIRECCIÓN METEOROLÓGICA
METEOCHILE

Contenidos

1. Resumen Ejecutivo ……..……...….P.7
2. Esquema Sinóptico ……..…….....……..……..……...…….....P.9
3. Condición Media Mensual:
   - Temperatura media…….……P.10
   - Temperatura máxima media……...P.12
   - Temperatura mínima media……..……...P.14
   - Precipitación mensual …….. ……...……...P.16
4. Radiación Ultravioleta…….……...……..……..P.18
5. Ola de Frío……..P.19
6. Ola de Calor……...P.20
7. Evento Extremo……P.21
5. Glosario……..……...P.22
7. Abreviaturas……..……..P.24
8. Anexos…….……..P.25
   - Datos de Temperatura mensual……..……..……P.26
   - Datos de Precipitación mensual……..……P.27

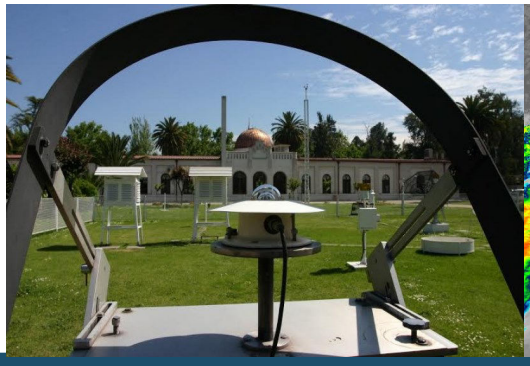
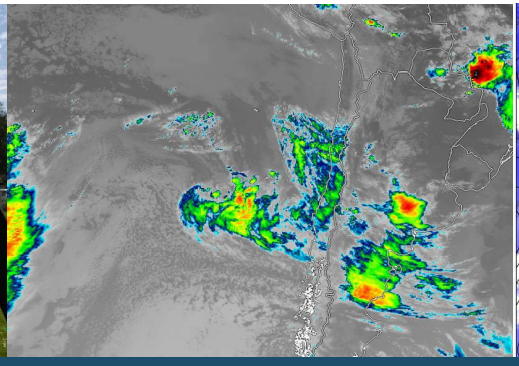
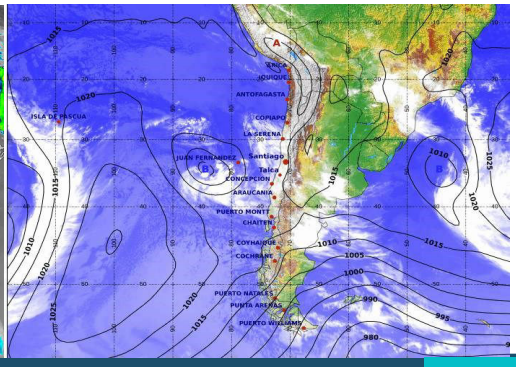

DIRECCIÓN METEOROLÓGICA
METEOCHILE

Resumen Ejecutivo

Durante agosto de 2026, las temperaturas medias se situaron por sobre los valores normales en distintas ciudades del país, con anomalías que fluctuaron entre 0.5 °C y 1.3 °C. Destacaron las estaciones de Concepción y Osorno, ambas con una anomalía positiva de 1.3 °C.

En cuanto a las temperaturas máximas, predominaron las anomalías positivas entre las zonas norte y centro del país. Destacaron las estaciones de la zona norte, que registraron anomalías superiores a 2.8 °C. La mayor anomalía positiva se registró en la estación de Iquique, con 3.4 °C.

Respecto de las temperaturas mínimas, predominaron las anomalías positivas en las zonas norte y sur del país, con valores superiores a 3.0 °C. La mayor anomalía se registró en la estación de Antofagasta, con un valor de 3.3 °C.

En relación con las precipitaciones, el territorio nacional presentó un marcado superávit pluviométrico en gran parte del país, alcanzando en algunas estaciones valores superiores al 100 %. En contraste, en el extremo sur del país se registraron déficits de precipitación.

En cuanto al índice UV, la estación de San Pedro de Atacama registró promedios mensuales del Índice Ultravioleta (IUV) dentro del rango Muy Alto, entre 8 y 10 unidades. Por el contrario, en las estaciones de Punta Arenas y Antártica, los valores se ubicaron en el rango Bajo, entre 1 y 2 unidades.

Con respecto a las Olas de Frío (OF), estas predominaron en la zona austral del país. Destacaron las estaciones de Coyhaique y Cochrane, que registraron 2 eventos de OF, con una duración total de 7 días en ambos casos. Durante estos eventos, las temperaturas mínimas fluctuaron entre −4 °C y −12 °C.

En cuanto a las Olas de Calor (OC), en la zona norte del país se registraron los eventos más intensos y prolongados del mes. Destacó la estación de Iquique, que registró 3 eventos de OC, con una duración total de 28 días. Asimismo, esta estación alcanzó una temperatura máxima de 33.4 °C.

Esquema Sinóptico

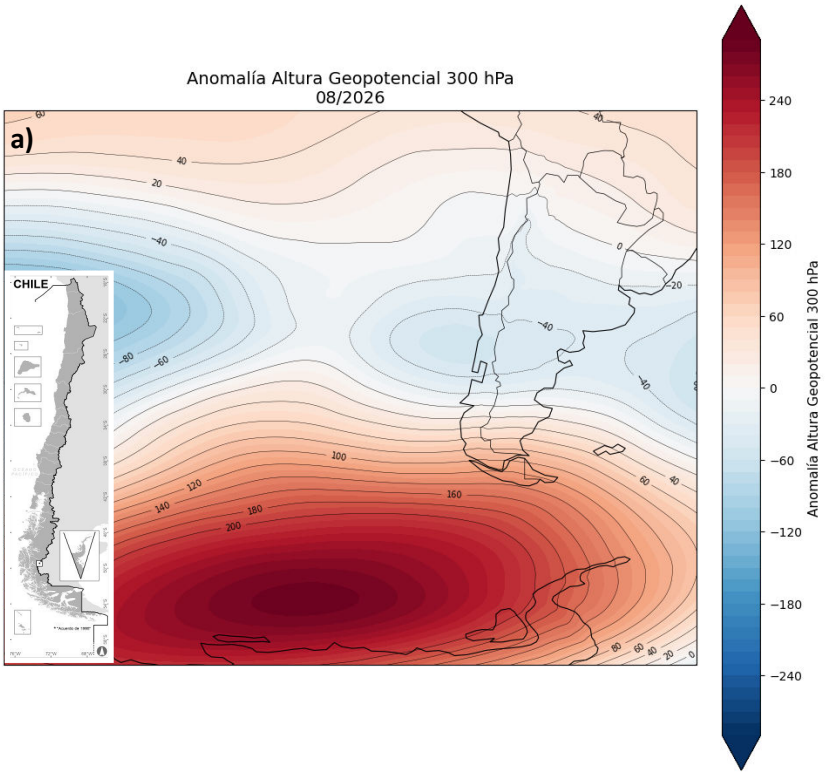

Durante agosto de 2026, en el nivel de 300 hPa (aproximadamente 9.000 m de altitud; Fig. 1a), se observaron anomalías positivas entre la Región de Arica y Parinacota y el sector centro-norte de la Región de Antofagasta, asociadas a condiciones de mayor estabilidad atmosférica. Esta misma condición se presentó en el extremo sur del país, aunque con mayor intensidad en el área circundante al mar de Amundsen-Bellingshausen. En contraste, desde el sector centro-sur de la Región de Antofagasta hasta el sector norte de la Región de Aysén, predominaron anomalías negativas, favoreciendo condiciones de mayor inestabilidad atmosférica en las áreas circundantes.

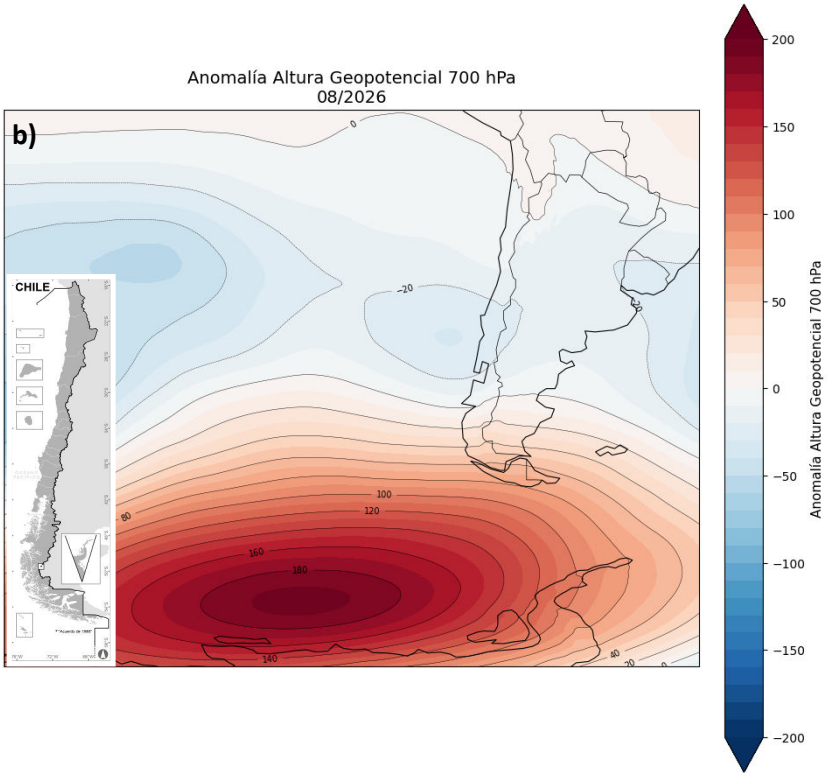

Durante agosto de 2026, la anomalía de altura geopotencial a 700 hPa (aproximadamente 3.000 m de altitud; Fig. 1b) presentó valores superiores a lo normal en las regiones de Arica y Parinacota y Tarapacá. En la Región de Antofagasta, estas anomalías se asociaron a condiciones relativamente más inestables, principalmente en el sector costero, mientras, que hacia el interior de la región predominaron condiciones de mayor estabilidad. Desde los sectores centro y sur de la Región de Antofagasta hasta la Región de Aysén, predominaron anomalías negativas, favoreciendo condiciones de mayor inestabilidad atmosférica en las áreas circundantes. Asimismo, en el extremo sur del país se registraron condiciones de mayor estabilidad, con mayor intensidad en el área circundante al mar de Amundsen-Bellingshausen.

Figura 1. a) Compuesto de anomalías de altura geopotencial en 300 hPa (apróx. 9.000 metros sobre el nivel del mar) y b) Compuesto de anomalías de altura geopotencial en 700 hPa (apróx. 3.000 metros sobre el nivel del mar) para agosto de 2026. Anomalías positivas (colores rojizos) indican condiciones anticiclónicas reforzadas y anomalías negativas (colores azulados) muestran condiciones ciclónicas reforzadas. Fuente de datos: cds.climate.copernicus.eu. ERA 5.

Nota: Las anomalías presentadas se calculan a partir de los valores climatológicos para el periodo 1991-2020.

Esquema Sinóptico

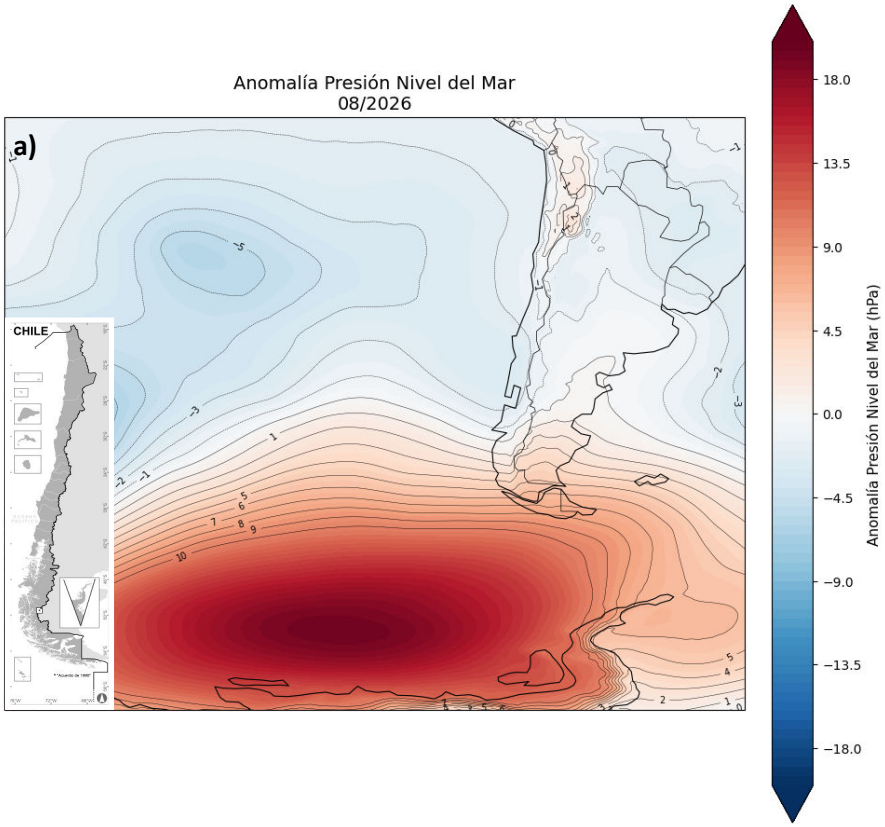

Durante agosto de 2026, las anomalías medias de presión a nivel del mar (Fig. 2a) fueron predominantemente negativas en el sector costero, desde la Región de Arica y Parinacota hasta la Región de Aysén, asociadas a condiciones de mayor inestabilidad atmosférica en las áreas circundantes. Por el contrario, hacia el interior de la zona norte del país se presentaron anomalías positivas, asociadas a condiciones relativamente más estables. Asimismo, se observaron anomalías positivas de mayor intensidad en el área circundante al mar de Amundsen-Bellingshausen, donde también predominaron condiciones de mayor estabilidad atmosférica.

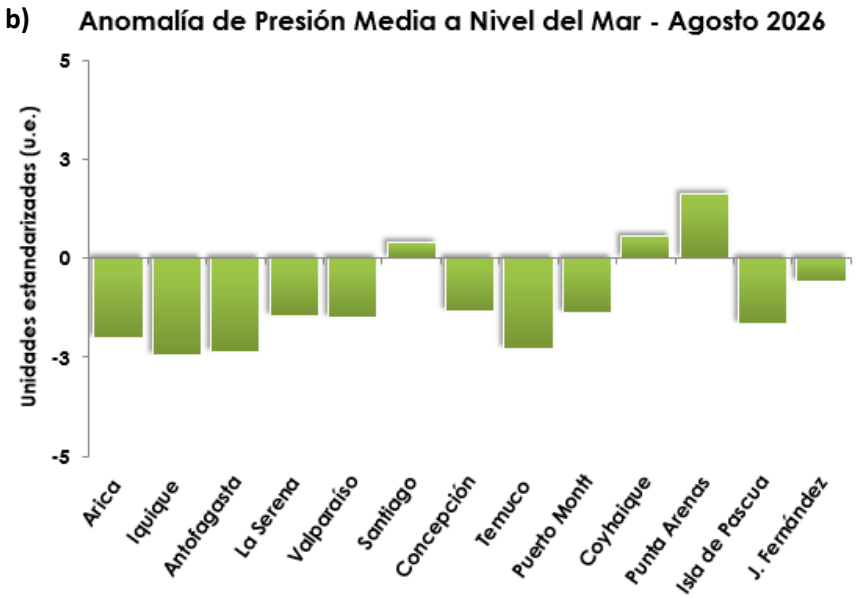

Durante agosto de 2026, las anomalías estandarizadas de la presión media a nivel del mar (Fig. 2b) fueron predominantemente negativas, con valores que fluctuaron entre −0.6 y −2.4 u.e. Las estaciones de Iquique y Antofagasta registraron las anomalías más negativas, ambas con −2.4 u.e. Asimismo, las estaciones de Temuco y Arica presentaron valores importantes, con anomalías de −2.3 y −2.0 u.e., respectivamente. En cambio, la estación de Punta Arenas registró una anomalía positiva de 1.6 u.e., mientras que, Coyhaique presentó un valor positivo de 0.6 u.e.

Para más detalles, ver los anexos correspondientes.

Figura 2. a) Compuesto de anomalías de presión sobre el nivel medio del mar (hPa) de agosto de 2026. Anomalías positivas (colores rojizos) indican altas presiones y anomalías negativas (colores azulados), indican bajas presiones. b) Anomalía estandarizada de la presión a nivel medio del mar para agosto de 2026. Fuente de datos: NCEP/NCAR *Reanalysis Project* y DMC.

Nota: Las anomalías presentadas se calculan a partir de los valores climatológicos para el periodo 1991-2020.

Temperatura Media Mensual

Durante agosto de 2026 (ver Fig. 3), las temperaturas medias registradas en las planicies litorales, el farellón costero y la cordillera de la Costa se mantuvieron por debajo de los 20 °C, desde las regiones de Arica y Parinacota hasta Atacama, tanto en el sector litoral como en los valles interiores. En cambio, entre las regiones de Coquimbo y O'Higgins, las temperaturas medias fueron inferiores a 15 °C en el farellón costero y la cordillera de la Costa, incluyendo los valles y las cuencas de Santiago y Rancagua. Por su parte, entre las regiones del Maule y Los Lagos, las temperaturas medias se mantuvieron por debajo de los 10 °C en las planicies litorales, la cordillera de la Costa y los valles interiores. Finalmente, en las regiones de Aysén y Magallanes y de la Antártica Chilena, se observaron temperaturas medias inferiores a 5 °C, tanto en la cordillera patagónica como en la pampa magallánica.

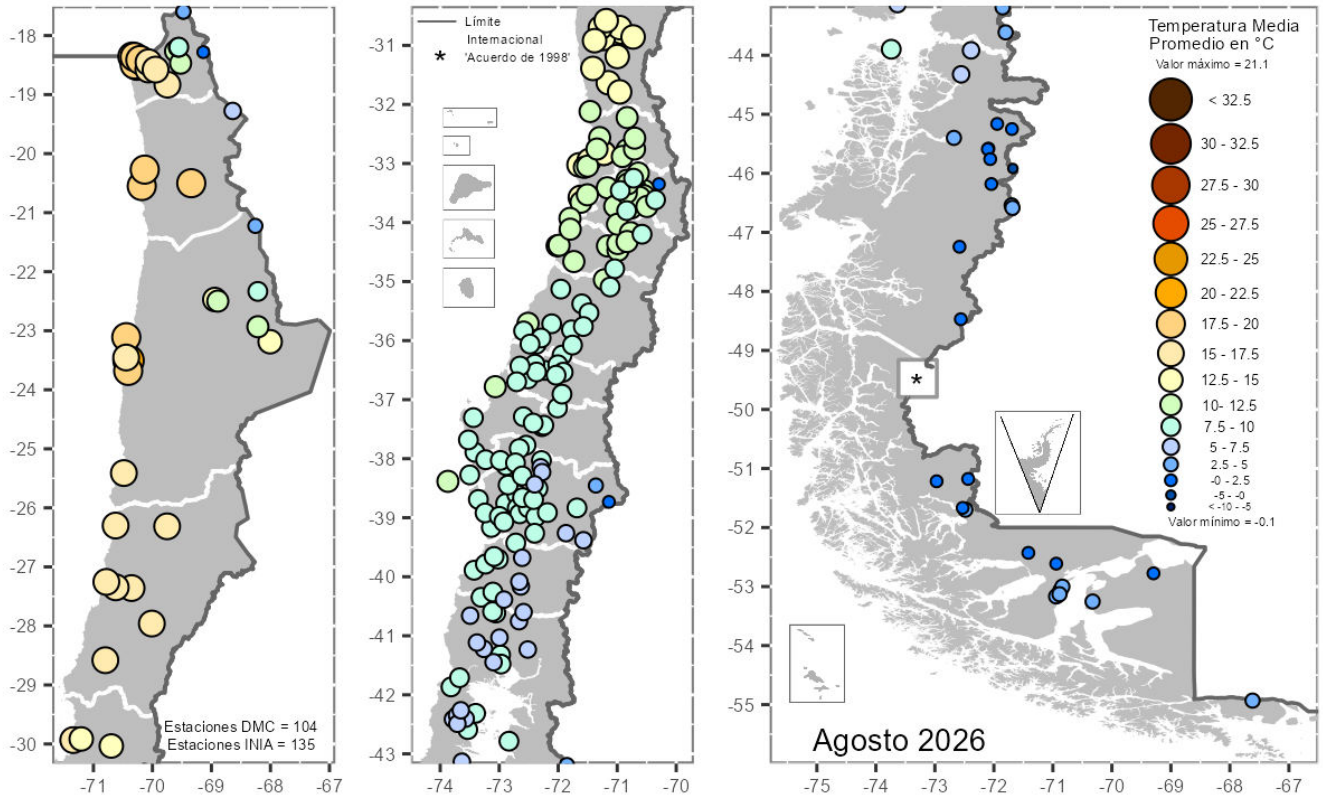

Figura 3. Temperatura media de agosto de 2026. La información corresponde a valores registrados por 239 estaciones meteorológicas y agrometeorológicas. Fuente: DMC e INIA.

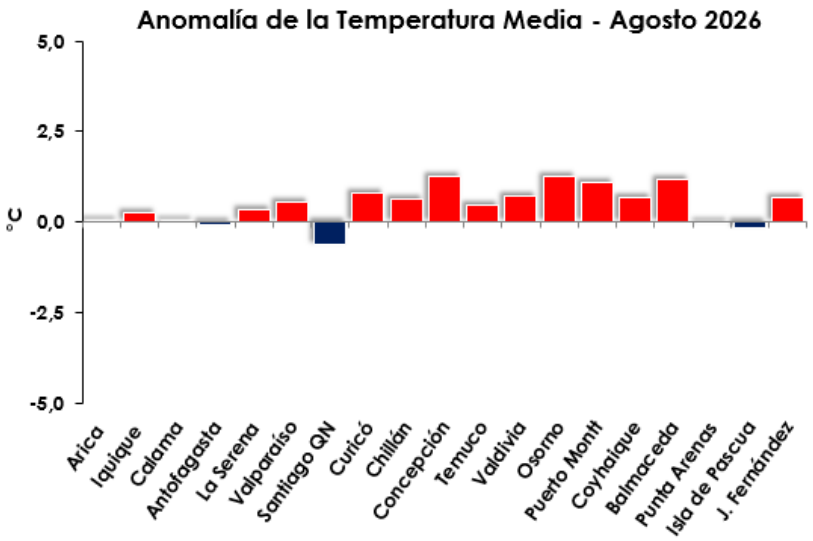

Figura 4. Anomalía de temperatura media de agosto de 2026. Las barras rojas representan anomalías positivas y las barras azules muestran anomalías negativas de las principales estaciones climatológicas. Fuente: DMC y Servicio Meteorológico de la Armada de Chile.

La figura 4 muestra las anomalías de temperatura media ocurridas en agosto de 2026.

El gráfico muestra que las temperaturas medias se situaron por sobre los valores normales en distintas localidades del país, con anomalías que fluctuaron entre 0.5 °C y 1.3 °C. Destacan las estaciones de Concepción y Osorno, ambas con una anomalía de 1.3 °C, correspondiente al valor más alto del período. Asimismo, las estaciones de Balmaceda y Puerto Montt presentaron anomalías significativas de 1.2 °C y 1.1 °C, respectivamente. En cambio, la estación de Quina Normal Santiago registró una anomalía negativa de -0.6 °C. Por su parte, las demás estaciones presentaron anomalías dentro del rango considerado normal.

Los valores detallados pueden consultarse en la Tabla 1.

Tabla 1. Temperatura media durante agosto de 2026 para las principales estaciones meteorológicas del país.

	Temperatura Media (°C)		
Estaciones	Agosto	Promedio	Anom. (°C)
Arica	16,5	16,5	0,0
Iquique	16,1	15,8	0,3
Calama	11,4	11,4	0,0
Antofagasta	14,4	14,5	-0,1
La Serena	12,2	11,9	0,3
Valparaíso	12,9	12,4	0,6
Santiago QN	10,6	11,2	-0,6
Curicó	10,4	9,6	0,8
Chillán	9,8	9,2	0,6
Concepción	11,3	10,0	1,3
Temuco	9,2	8,7	0,5
Valdivia	9,0	8,3	0,7
Osorno	9,1	7,8	1,3
Puerto Montt	8,6	7,5	1,1
Coyhaique	5,3	4,6	0,7
Balmaceda	4,0	2,8	1,2
Punta Arenas	2,9	2,9	0,0
Isla de Pascua	18,3	18,5	-0,2
J. Fernández	13,2	12,5	0,7

La tabla 1 muestra las temperaturas medias (°C) de las principales estaciones meteorológicas del país, señalando el valor promedio del mes, el valor normal o climatológico (promedio) y las anomalías que se presentaron durante agosto de 2026.

La estación de Concepción registró una anomalía positiva de 1.3 °C, con una temperatura media mensual de 10 °C, por sobre su normal climatológica de 11.3 °C. De manera similar, Puerto Montt presentó una anomalía positiva de 1.1 °C, con una temperatura media mensual de 7.5 °C, superior a su normal climatológica de 8.6 °C. Por el contrario, la estación Quinta Normal, Santiago, registró una anomalía negativa de -0.6 °C, con una temperatura media mensual de 11.2 °C, inferior a su normal climatológica de 10.6 °C.

Nota: Las anomalías presentadas son parte de valores climatológicos para el periodo 1991-2020.

Temperatura Máxima Mensual

Durante agosto de 2026 (Fig. 5), las temperaturas máximas registradas en las planicies litorales, el farellón costero y la cordillera de la Costa, desde la Región de Arica y Parinacota hasta la Región de Atacama, fueron inferiores a 25 °C. Entre las regiones de Coquimbo y Metropolitana, se observaron valores inferiores a 20 °C, tanto en el sector costero como en los valles interiores. En las regiones de O'Higgins, Maule y Ñuble, las temperaturas máximas se mantuvieron por debajo de los 18 °C. Desde la Región del Biobío hasta la Región de Los Lagos, se registraron temperaturas máximas inferiores a 12 °C, tanto en el sector costero como en los valles interiores. Finalmente, desde la Región de Aysén hasta la Región de Magallanes y de la Antártica Chilena, las temperaturas máximas se mantuvieron por debajo de los 7 °C, tanto en la cordillera patagónica como en la pampa magallánica.

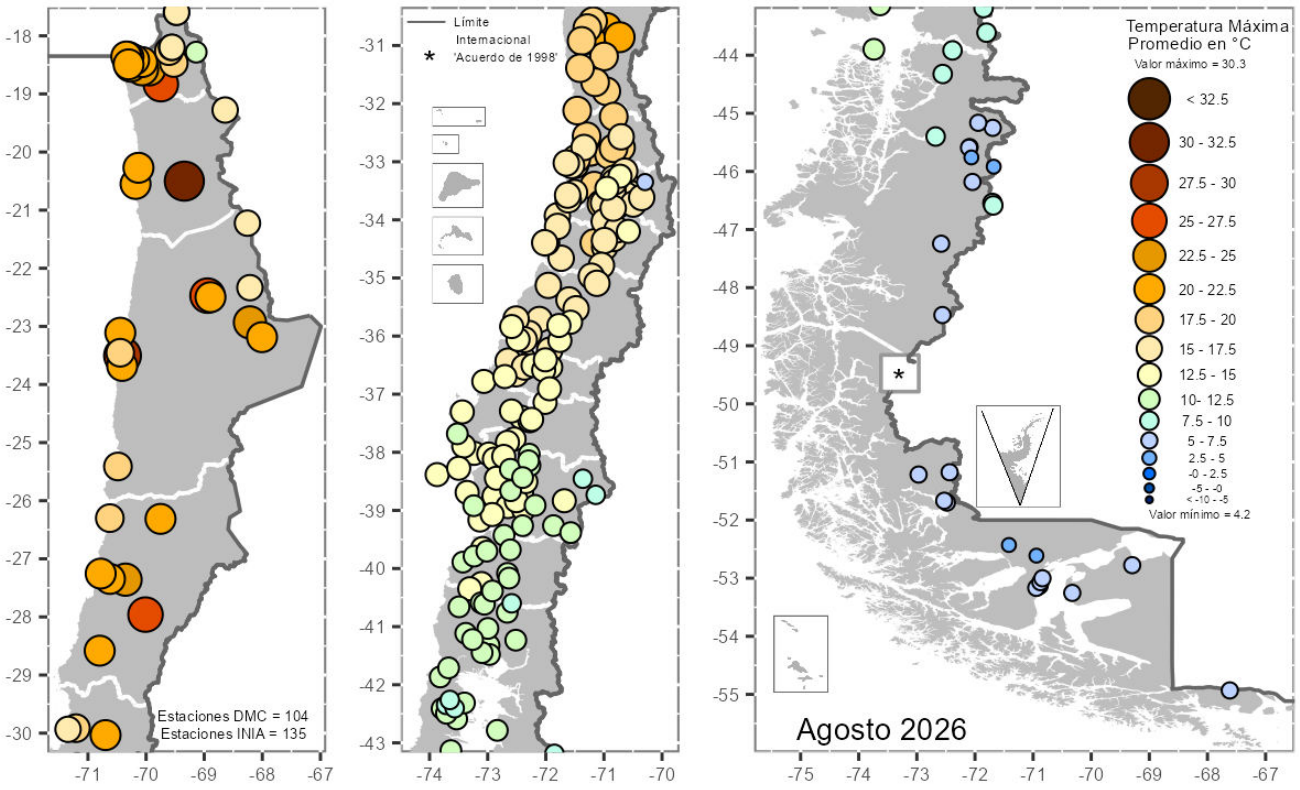

Figura 5. Temperatura máxima de agosto de 2026. La información corresponde a valores registrados por 252 estaciones meteorológicas y agrometeorológicas. Fuente: DMC e INIA.

La figura 6 presenta las anomalías de temperatura máximas durante el mes de agosto del 2026.

El gráfico evidencia un predominio de anomalías positivas en las zonas norte y centro del territorio nacional. Destacan las estaciones de Arica, Iquique y Antofagasta, que registraron anomalías superiores a 2.8 °C, siendo Iquique la estación con el valor más alto del período, con una anomalía de 3.4 °C. En contraste, las estaciones de la zona austral, como Coyhaique y Balmaceda, presentaron anomalías negativas de −2.1 °C y −2.7 °C, respectivamente.

Para más detalles, ver los anexos correspondientes.

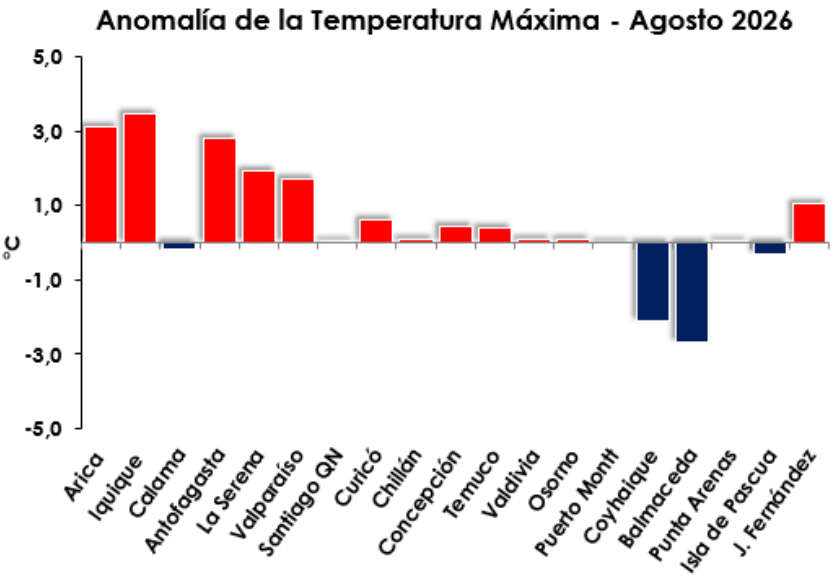

Figura 6. Anomalía de temperatura máxima media de agosto de 2026. Las barras rojas representan anomalías positivas y las barras azules muestran anomalías negativas de las principales estaciones climatológicas. Fuente: DMC y Servicio Meteorológico de la Armada de Chile.

En la figura 7, muestra la cantidad de días con temperaturas máximas extremas correspondientes a registros superiores al percentil 90, es decir, aquellos que se encuentran dentro del 90 % más alto de la distribución de temperaturas máximas de cada estación meteorológica durante agosto de 2026.

El gráfico muestra que las estaciones de Arica, Iquique y Antofagasta registraron más de 25 días con temperaturas máximas extremas. Por su parte, las estaciones de Caldera, La Serena y Juan Fernández presentaron 10 o más días bajo esta condición.

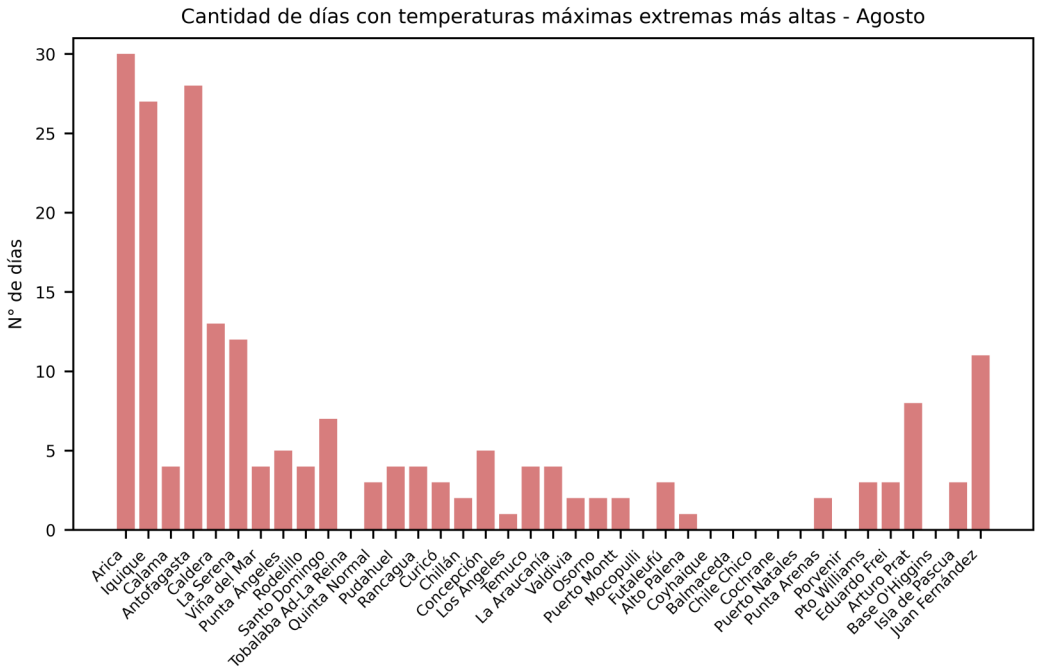

Figura 7. Cantidad de días con temperaturas máximas extremas para cada estación meteorológica del Monitoreo de Ola de Calor, agosto de 2026. Fuente: Oficina de Servicios Climáticos, DMC.

Temperatura Mínima Mensual

Durante agosto de 2026 (Fig. 8), las temperaturas mínimas registradas en las planicies litorales, el farellón costero y la cordillera de la Costa, entre las regiones de Arica y Parinacota y Tarapacá, se mantuvieron por debajo de los 18 °C; mientras que, hacia el interior, estas descendieron por debajo de los 10 °C, valores que también se observaron desde la Región de Antofagasta hasta Valparaíso, tanto en los sectores costeros como en los valles. En las regiones Metropolitana y de O'Higgins, las temperaturas mínimas también se mantuvieron por debajo de este umbral en los sectores costeros y valles. Entre las regiones del Maule y Los Lagos, las temperaturas mínimas registradas en las planicies marinas, la cordillera de la Costa y los valles centrales fueron inferiores a 8 °C. Finalmente, en las regiones de Aysén y Magallanes y de la Antártica Chilena, las temperaturas mínimas se mantuvieron por debajo de los 0 °C en los valles, la cordillera patagónica y la pampa magallánica.

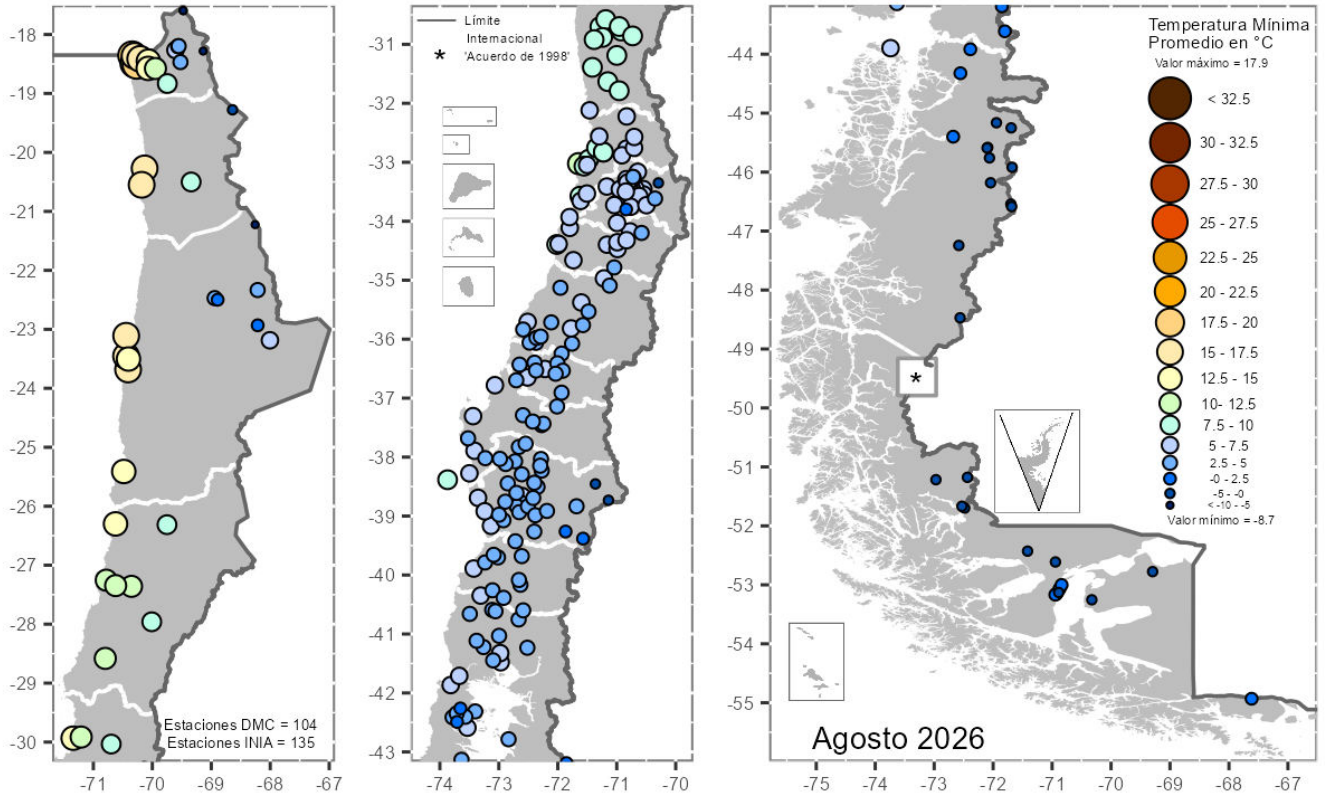

Figura 8. Temperatura mínima media de agosto de 2026. Corresponde a valores registrados por 239 estaciones meteorológicas y agrometeorológicas. Fuente: DMC e INIA.

La Figura 9 muestra las anomalías de temperatura mínima durante el mes de agosto del presente año.

El gráfico evidencia un predominio de anomalías positivas entre las zonas norte y centro del país, con valores que fluctuaron entre 0.5 °C y 3.3 °C. Las estaciones de Arica, Iquique, Antofagasta y La Serena registraron anomalías superiores a 3.0 °C, destacando Antofagasta con el valor más alto, de 3.3 °C. Por el contrario, las estaciones de la zona austral registraron las anomalías negativas más bajas, destacando Coyhaique y Balmaceda, con valores de −2.6 °C y −3.2 °C, respectivamente.

Para más detalles, ver los anexos correspondientes.

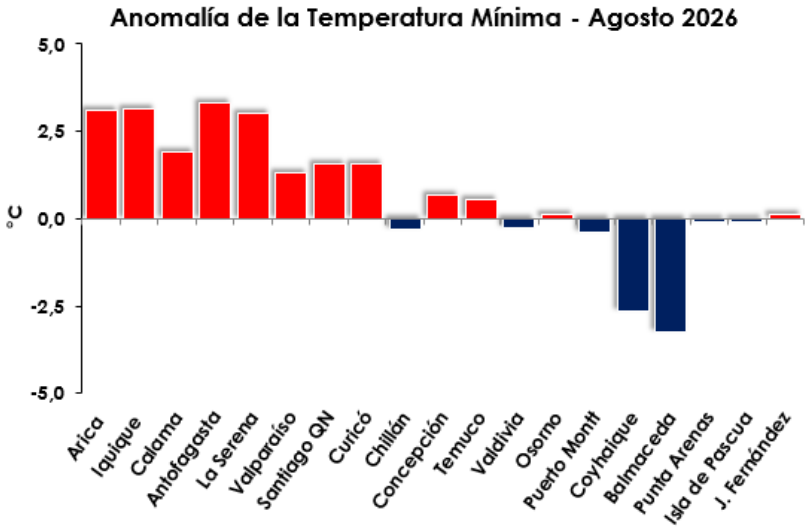

Figura 9. Anomalía de temperatura mínima media de agosto de 2026. Las barras rojas representan anomalías positivas y las barras azules muestran anomalías negativas de las principales estaciones climatológicas. Fuente: DMC y Servicio Meteorológico de la Armada de

La Figura 10 muestra la cantidad de días con temperaturas mínimas extremas, correspondientes a registros inferiores al percentil 10, es decir, aquellos que se encuentran dentro del 10 % más bajo de la distribución de temperaturas mínimas de cada estación meteorológica durante agosto de 2026.

El gráfico indica que las estaciones de Coyhaique, Balmaceda, Cochrane y Porvenir registraron más de 5 días con temperaturas mínimas extremas.

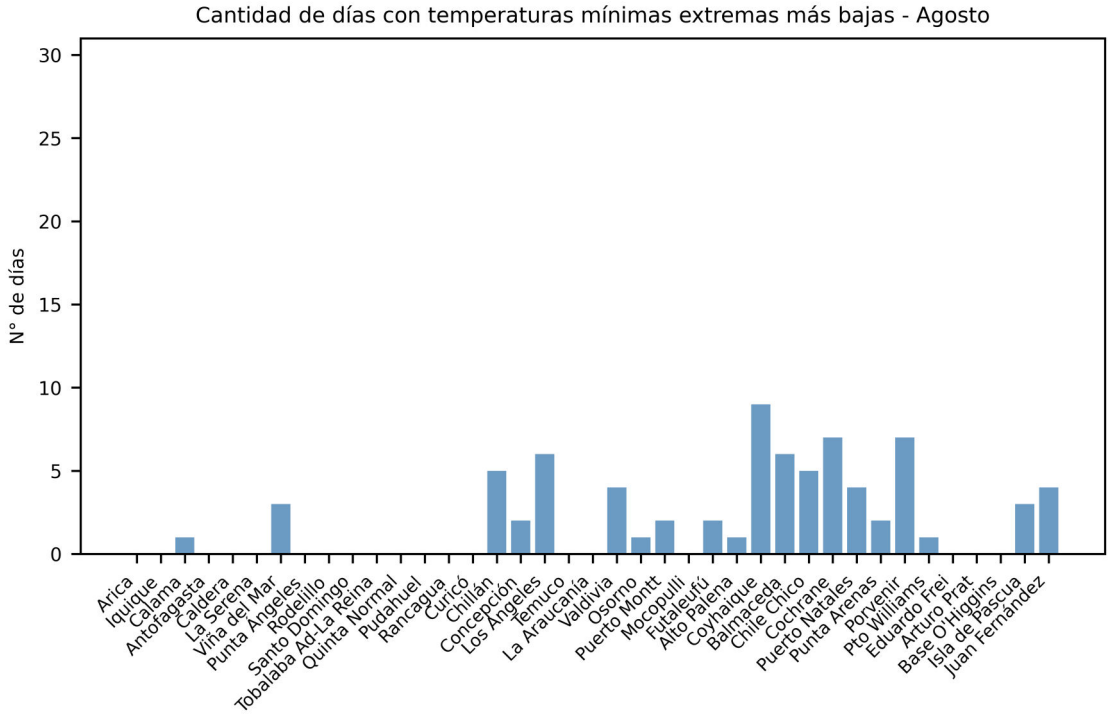

Figura 10. Cantidad de días con temperaturas mínimas extremas para cada estación meteorológica del Monitoreo de Olas de Frío, agosto de 2026. Fuente: Oficina de Servicios Climáticos, DMC.

Precipitación Mensual

Durante agosto de 2026 (Fig. 11), las precipitaciones registradas en el farellón costero y los valles de las regiones de Coquimbo y Valparaíso presentaron acumulados inferiores a 50 mm. Por el contrario, en la Región Metropolitana, los montos de precipitación acumulada bordearon los 130 mm. Por otra parte, en las planicies marinas y los valles centrales, entre las regiones de O'Higgins y Biobío, se presentaron acumulados inferiores a 250 mm. Destacó la Región de La Araucanía, donde los montos acumulados superaron los 400 mm. Finalmente, las regiones de Los Ríos, Los Lagos y Aysén presentaron acumulados inferiores a 350 mm.

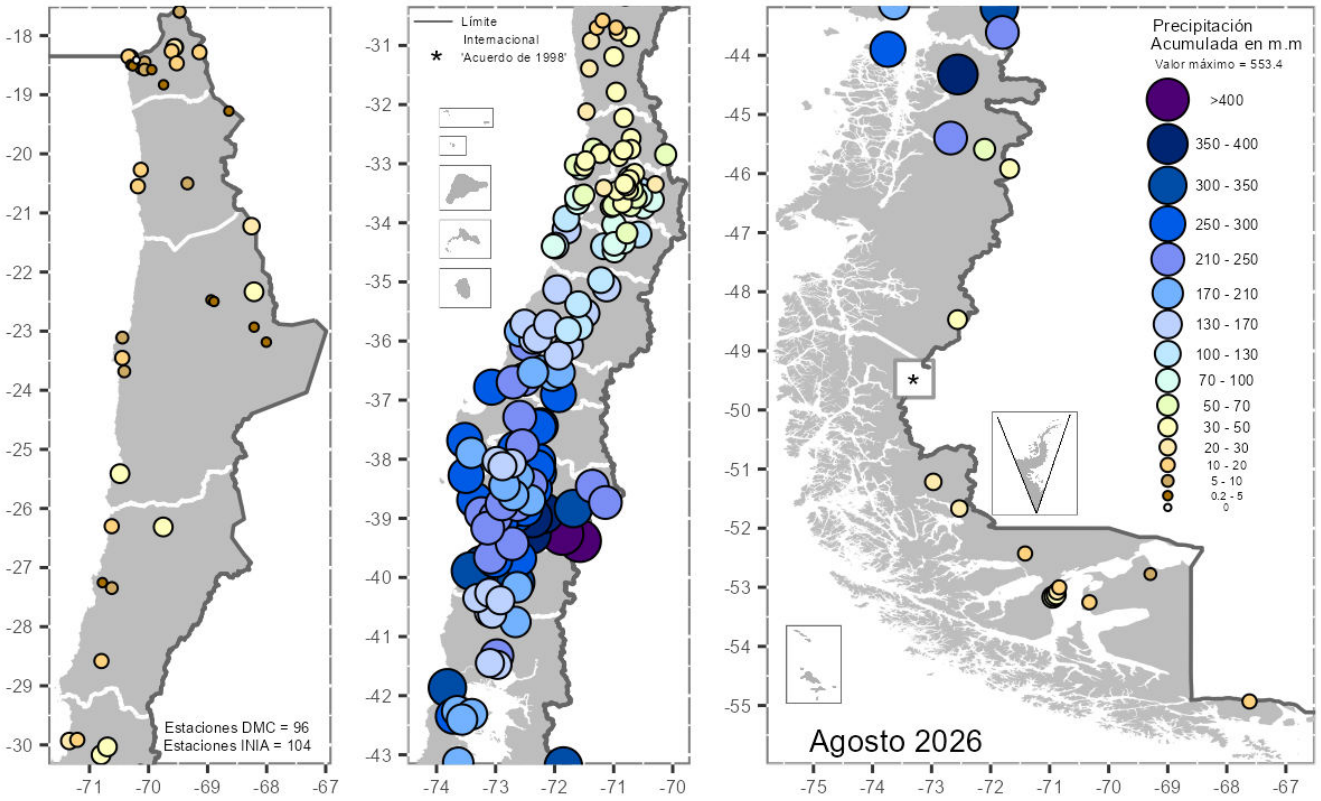

Figura 11. Precipitación acumulada mensual de agosto de 2026. Información correspondiente a un total de 200 estaciones meteorológicas. Fuente: DMC e INIA.

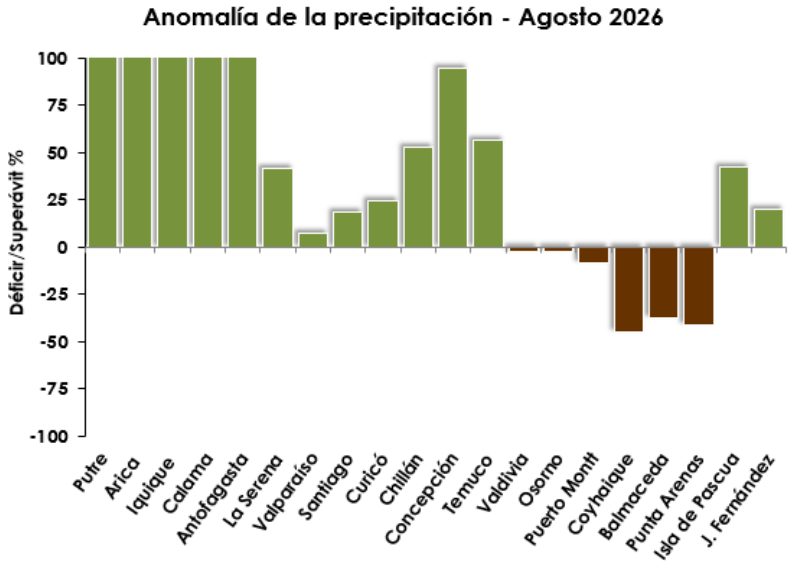

Figura 12. Anomalía de la precipitación (%) para agosto de 2026. Las columnas de color café representan *déficits* y las columnas de color verde representan *superávits*. Fuente: DMC y SERVIMET.

En la figura 12 se presentan las anomalías de precipitación durante agosto de 2026.

El gráfico evidencia un marcado superávit de precipitaciones entre las zonas norte y sur del país. Las estaciones entre Putre y Antofagasta registraron un superávit superior al 100 %; mientras que, las estaciones entre La Serena y Temuco presentaron superávits que fluctuaron entre 7 % y 95 %, incluyendo los territorios insulares. Por el contrario, las estaciones entre Valdivia y Punta Arenas registraron déficits que fluctuaron entre 45 % y 2 %.

Para más detalles, ver los anexos correspondientes.

La figura 13 muestra el número de días en que la precipitación fue igual o superior a 0.1 mm en las principales estaciones meteorológicas durante el mes de agosto de 2026.

El gráfico indica que las estaciones de la zona sur del país, junto con Juan Fernández, concentraron la mayor cantidad de días con precipitación. Destacaron Temuco y Valdivia con 23 días de precipitaciones cada una. Por su parte, Puerto Montt y Osorno registraron 22 y 21 días, respectivamente, mientras que, las estaciones de Coyhaique y Juan Fernández presentaron 20 días con precipitaciones.

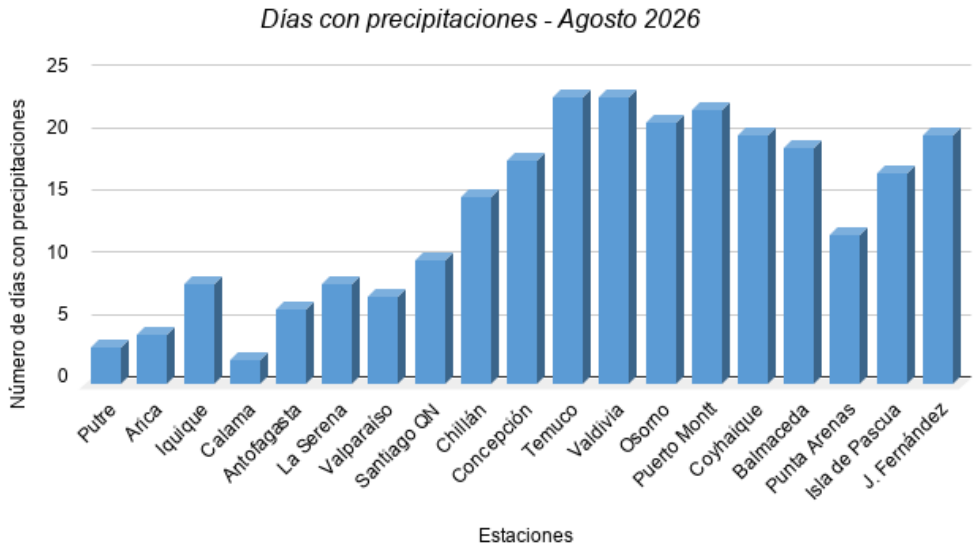

Figura 13. Cantidad de días en que se registró precipitación acumulada diaria mayor o igual a 0.1 mm, de las principales estaciones climatológicas para agosto de 2026. Fuente: DMC.

Índice de Radiación Ultravioleta

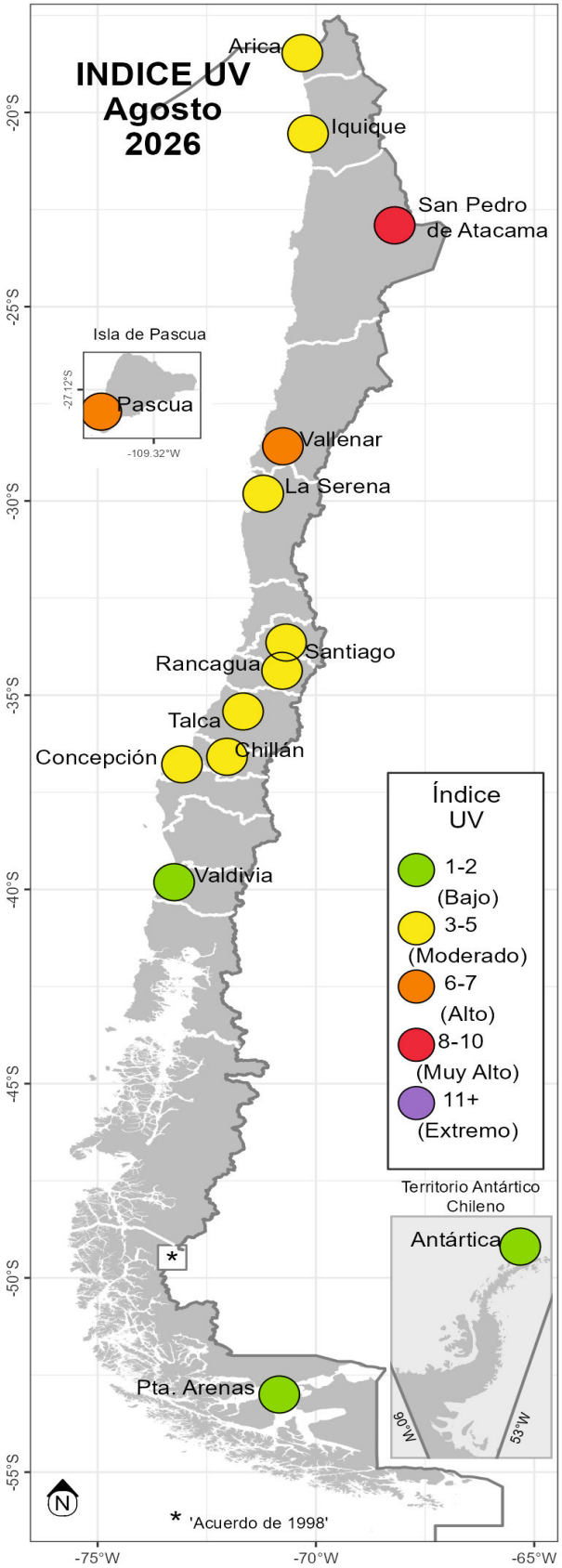

Figura 14. Promedio mensual de Índice Ultravioleta para agosto de 2026. Fuente: Oficina de Servicios Climáticos, DMC.

Durante el mes de agosto (Fig. 14), la estación de San Pedro de Atacama registró promedios mensuales del Índice Ultravioleta (IUV) en el rango Muy Alto (entre 8 y 10 unidades). Arica e Iquique presentaron valores promedio en la categoría Moderada (entre 3 y 5 unidades). Isla de Pascua y Vallenar alcanzaron valores Altos (entre 6 y 7 unidades). Desde La Serena hasta Concepción, los valores promedio se mantuvieron dentro de la categoría Moderada (entre 3 y 5 unidades). Finalmente, en las estaciones de Punta Arenas y Antártica, los valores fueron Bajos (entre 1 y 2 unidades).

Los máximos valores de IUV se muestran en la Figura 15, donde Arica e Iquique alcanzaron niveles en el rango Alto. En la zona norte, San Pedro de Atacama presentó el valor más elevado, cercano a 9 unidades de IUV. Por su parte, las estaciones entre Vallenar y Rancagua registraron máximos en la categoría Alta, con valores entre 6 y 7 unidades de IUV. Más al sur, desde Talca hasta Valdivia, los máximos se situaron entre 3 y 5 unidades de IUV, mientras que en Punta Arenas y Antártica variaron entre 1 y 2 unidades.

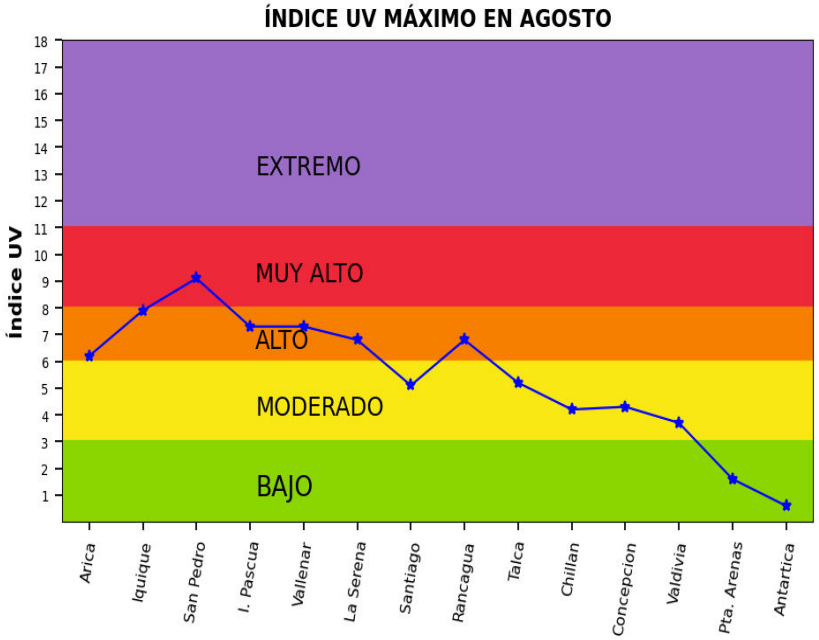

Figura 15. Valores máximos de Índice Ultravioleta registrados durante el mes de agosto para las principales ciudades de Chile. Fuente: Oficina de Servicios Climáticos, DMC.

Olas de Frío

La figura 16 muestra las temperaturas mínimas extremas asociadas a eventos de Ola de Frío (OF) registrados en las principales estaciones de monitoreo durante agosto de 2026.

Durante agosto, las estaciones de Coyhaique y Cochrane registraron 2 eventos de OF, con una duración total de 7 días en ambos casos. Durante estos eventos, las temperaturas mínimas fluctuaron entre −4 °C y −12 °C. La temperatura mínima más baja se registró en Coyhaique, con −10.3 °C, mientras que, en Cochrane la temperatura mínima alcanzó −6.9 °C. Por su parte, la estación de Balmaceda registró 1 evento de OF, durante el cual la temperatura mínima más baja alcanzó −17.5 °C.

Para monitorear las Olas de Frío en Chile durante el transcurso de los meses del año, puede ingresar a la siguiente página web "Monitoreo de Olas de Frío".

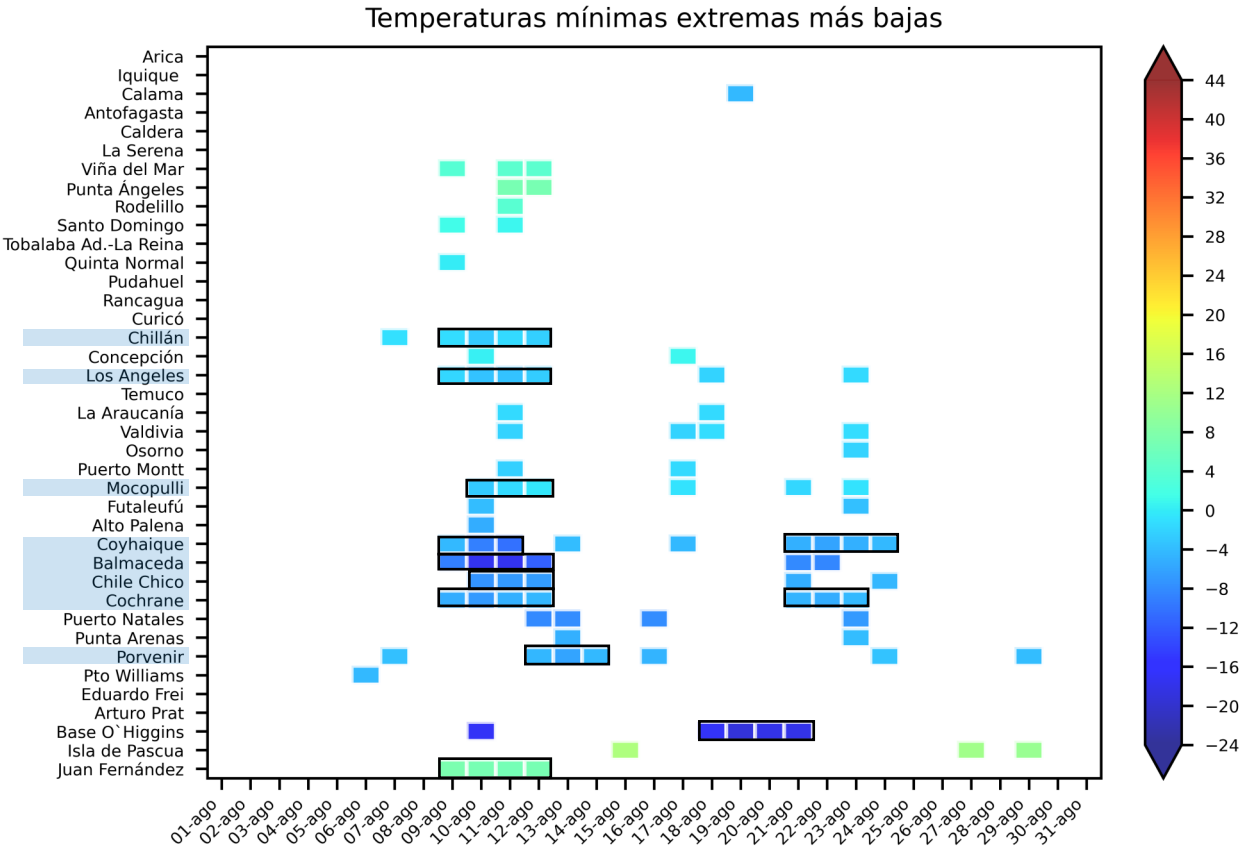

Figura 16. Temperatura mínima extrema diaria (percentil 10; período 1991-2020) de las principales estaciones de monitoreo de Chile, durante agosto de 2026. Fuente: DMC.

Olas de Calor

La figura 16 muestra las temperaturas máximas extremas asociadas a eventos de Ola de Calor (OC) registrados en las principales estaciones de monitoreo durante agosto de 2026.

Respecto de la figura, en la zona norte del país se registraron los eventos de OC más intensos y prolongados del mes. La estación de Arica registró 2 eventos de OC, con una duración total de 30 días, durante los cuales las temperaturas máximas extremas fluctuaron entre 24 °C y 28 °C, siendo la más alta registrada de 25.8 °C. Asimismo, las estaciones de Iquique y Antofagasta registraron 3 eventos de OC, con una duración de 27 y 28 días, respectivamente. Las temperaturas máximas extremas oscilaron entre 20 °C y 36 °C, registrándose la temperatura más alta en la estación de Iquique, con 33.4 °C.

Para monitorear las Olas de Calor en Chile durante el transcurso de los meses del año, puede ingresar a la siguiente página web "Monitoreo de Olas de Calor (diurna)".

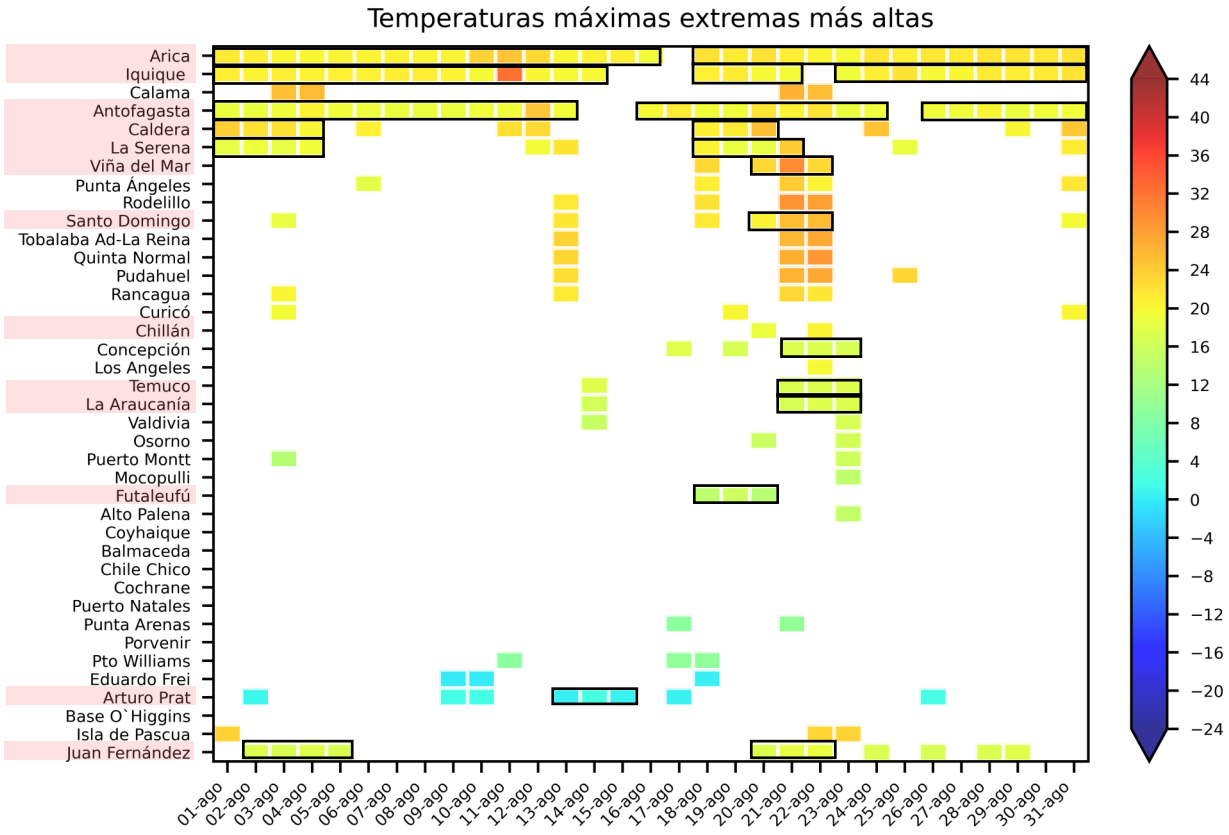

Figura 17. Temperatura máxima extrema diaria (percentil 90; período 1991-2020) de las principales estaciones de monitoreo de Chile, durante agosto de 2026. Fuente: DMC.

Evento de precipitaciones en la zona norte del país

Agosto forma parte del período más lluvioso del año en gran parte de la zona central y sur de Chile. Sin embargo, durante este año, las precipitaciones también se extendieron hacia la zona norte del país, alcanzando sectores donde históricamente son poco frecuentes durante este mes.

Entre el 16 y el 18 de agosto, una configuración atmosférica inestable favoreció la ocurrencia de precipitaciones, tormentas eléctricas, granizo, nevadas en sectores cordilleranos y vientos intensos en distintas zonas del norte del país. En pocos días, varias estaciones registraron importantes acumulados de precipitación, alcanzando valores que se posicionaron entre los más destacados de sus respectivas series históricas.

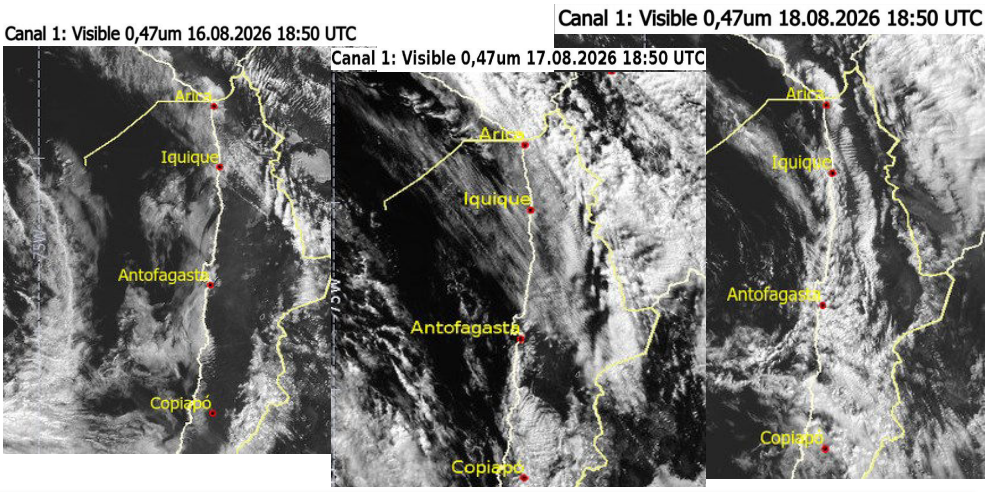

Figura 18. Las imágenes satelitales correspondientes muestran la evolución de la inestabilidad atmosférica en la zona norte del país por medio del Canal 1 (Visible; 0,47 µm) del GOES-19 de los días a) 16, b) 17 y c) 18 de agosto de 2026 a las 18:50 UTC (14:50 hora local). Fuente: Dirección Meteorológica de Chile.

Las imágenes satelitales del canal 1 del GOES-19 muestran la evolución de la nubosidad asociada a la inestabilidad atmosférica sobre la zona norte del país entre el 16 y el 18 de agosto de 2026. El 16 de agosto se observa abundante nubosidad sobre sectores del norte, principalmente hacia el interior y la cordillera. Durante el 17 de agosto, la nubosidad aumenta considerablemente en extensión y presenta un mayor desarrollo, cubriendo amplios sectores de las regiones de Arica y Parinacota, Tarapacá, Antofagasta y Atacama. Para el 18 de agosto, se observa una reorganización de la nubosidad, con bandas y núcleos nubosos que persisten sobre distintos sectores del

La estación Chacalluta, Arica Ap., registró 13.5 mm durante agosto de 2026, muy por sobre su normal climatológica de 0.1 mm, posicionándose como el agosto más lluvioso desde 1964. La precipitación máxima en 24 horas alcanzó 8.6 mm el 17 de agosto. Además, 2026 se convirtió en el año más lluvioso de la serie, con 15.1 mm acumulados hasta la fecha. En Diego Aracena, Iquique Ap., se acumularon 16.0 mm, frente a una normal de 0.2 mm, convirtiendo a agosto de 2026 en el mes más lluvioso de la serie iniciada en 1981 y en el año con mayor acumulado hasta la fecha, también con 16.0 mm. Por su parte, El Loa, Calama Ad., registró 2.4 mm, superando su normal de 0.8 mm y ubicándose en el quinto lugar de la serie histórica, con registros desde 1966. Finalmente, Cerro Moreno, Antofagasta Ap., acumuló 14.8 mm, muy por sobre su normal de 0.8 mm, destacando dentro de su extensa serie histórica iniciada en 1950.

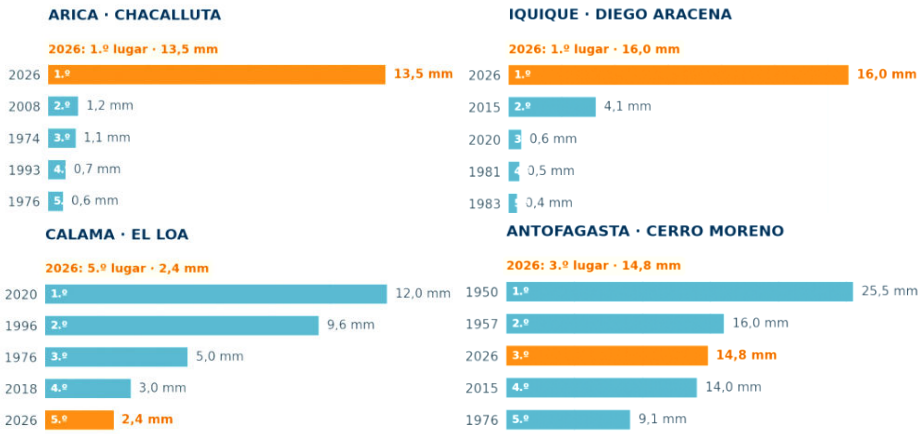

Figura 19. Récords de precipitación acumulada mensual para las estaciones nortinas del país. Datos obtenidos desde RedDMC.

Alta presión o anticiclón

Región donde la presión atmosférica es relativamente más alta en comparación a las regiones vecinas. Normalmente sobre los anticiclones el aire desciende. lo cual inhibe la formación de nubes en los niveles medios y altos de la atmosfera. Por esto un régimen anticiclónico se asocia a “buen tiempo”. Por efecto de la rotación de la Tierra. en la zona de un anticiclón el aire circula alrededor del núcleo de máxima presión. en el sentido de los punteros del reloj en el Hemisferio Norte. y en dirección contraria en el Hemisferio Sur. (Definición: DGF Universidad de Chile).

Anomalía

Diferencia del valor observado respecto al valor medio. Valores positivos indica sobre el valor normal. Valores negativos indica bajo el valor normal.

Baja presión o ciclón

Zona donde la presión es menor que en los alrededores y los vientos giran en el sentido del reloj en el hemisferio sur. Esta asociado a tiempo inestable y cielos mayoritariamente nublados.

Evento Meteorológico o Climatológico Extremo

Los eventos extremos es un momento y lugar en el que las condiciones meteorológicas, climáticas o ambientales (como la temperatura, las precipitaciones, las sequías o las inundaciones) superan un valor umbral cercano a los límites superior o inferior del rango de mediciones históricas. Si bien el umbral es subjetivo, algunos científicos definen los eventos extremos como aquellos que ocurren en el 5% o 10% más alto o más bajo de las mediciones históricas. En otras ocasiones, describen los eventos según su distancia a la media, su intervalo de recurrencia o su probabilidad (Defincón: NOAA, Climate.gov).

Evento Meteorológico o Climatológico Significativo

Los fenómenos meteorológicos significativos se caracterizan por su poca frecuencia, fenómenos inusuales en un lugar, que ocurren pocas veces, sin embargo, no posee un registro cuantitativo.

Geopotencial

Es el potencial de la fuerza de gravedad terrestre. (Definición: DGF Universidad de Chile).

Índice UV

El índice UV o IUV es una medida sencilla de la intensidad de la radiación ultravioleta proveniente del sol. sobre la superficie terrestre. aplicable y definida para un área horizontal. Su formulación se basa en el espectro de acción de referencia de la Comisión Internacional sobre Iluminación (CIE) para el eritema (enrojecimiento) o respuesta inflamatoria de la piel humana. inducido por la radiación UV (ISO 17166:1999/CIE S007/ E-1998).

Ola de Calor

Es el período de tiempo en el cual las temperaturas máximas diarias superan o igualan un umbral diario considerado extremo. por tres días consecutivos o más. Este umbral diario corresponde al percentil 90 de distribución para el periodo 1991-2020 y solo en algunas estaciones se ha utilizado un período climatológico diferente debido a ausencia de datos.

Ola de Frío

Es el período de tiempo en el cual las temperaturas mínimas diarias son inferiores o igualan un umbral diario considerado extremo. por tres días consecutivos o más. Este umbral diario corresponde al percentil 10 de distribución para el periodo 1991-2020 y solo en algunas estaciones se ha utilizado un período climatológico diferente debido a ausencia de datos.

Percentil

Es una medida de posición usada en estadística que indica. una vez ordenados los datos de menor a mayor. el valor de la variable por debajo del cual se encuentra un porcentaje dado de observaciones en un grupo de observaciones.

Radiación UV-B

La radiación UV-B o “Burning” (que quema). se compone por el rango espectral que se encuentra entre las longitudes de onda que varían entre 280 y 320 nm. es decir. posee mayor energía que la radiación UV-A. Los rayos UV-B llegan a la Tierra bastante atenuados por la capa de ozono; son sensibles a las condiciones meteorológicas y cambios en la concentración de ozono. Conocida también como Radiación ultravioleta biológica. puede ocasionar daños agudos ya que penetra a nivel epidérmico. Para la salud humana. tiene efectos de corto y largo plazo. En el corto plazo produce eritema (enrojecimiento. quemaduras y aparición de ampollas). En el largo plazo. dado que su efecto es acumulativo. puede ser responsable de melanomas y otros canceres cutáneos. cataratas en los ojos y debilitamiento del sistema inmunológico. Representa solo el 5% de la radiación UV y el 0.25% de toda la radiación solar que llega a la superficie de la Tierra. Es un potente germicida.

Río Atmosférico (RA)

Son largos y angostos corredores de flujo horizontal de vapor de agua que salen desde las zonas tropicales y que viajan por miles de kilómetros. Se ven como grandes filamentos o brazos de humedad que se desprenden desde la zona tropical hacia latitudes mayores. en ambos hemisferios.

Temperatura Extrema

Temperatura más alta o más baja alcanzada en un intervalo de tiempo dado.

Temperatura Superficial del Mar (TSM)

Es una medida de la energía debida al movimiento de las moléculas en la capa superior del océano.

Unidad estandarizada (u.e)

Unidad que permite comparar variables independiente de su media climatológica.

UTC

Universal Time Coordinated; en español, Tiempo Coordinado Universal.

ABREVIATURAS

Anom. Anomalía.

ha: Hectárea.

H.L.: Hora Local (UTC-4; horario invierno) (UTC-3; horario verano).

hPa: Hectopascal. esta es una unidad de presión.

IUV Índice Ultra Violeta.

km /h: Kilómetro por hora.

kt: Nudos.

mgp: metrogeopotencial.

mm: Milímetros.

MP 2.5: Material Particulado 2.5 µm.

msnm: Metros sobre el nivel medio del mar.

OC: Ola de calor.

OF: Ola de frío.

u.e.: Unidades estandarizadas.

UTC: *Universal Time Coordinated*; en español. Tiempo Coordinado Universal.

Nota Técnica

Respecto a los límites y fronteras oficiales. el esquicio general puede ser descargado desde https://difrol.gob.cl/download/esquicio-chile-pdf/ . Para mayores detalles está disponible el acceso al geoportal https://difrol.gob.cl/mapas/ , desde el menú IDE-DIFROL.

Está nota técnica corresponde por los límites limítrofes y puede variar

ANEXOS

Climatología (1991-2020) **Temperatura del aire (°C)**

Estaciones	Máxima Media			Mínima Media			Temperatura Media		
	Agosto	Promedio	Anom. (°C)	Agosto	Promedio	Anom. (°C)	Agosto	Promedio	Anom. (°C)
Arica	21,3	18,2	3,1	17,9	14,8	3,1	16,5	16,5	0,0
Iquique	21,2	17,8	3,4	17,1	13,9	3,2	16,1	15,8	0,3
Calama	22,2	22,4	-0,2	2,3	0,4	1,9	11,4	11,4	0,0
Antofagasta	19,6	16,8	2,8	15,5	12,2	3,3	14,4	14,5	-0,1
La Serena	17,7	15,8	1,9	11,0	8,0	3,0	12,2	11,9	0,3
Valparaíso	16,8	15,1	1,7	10,9	9,6	1,3	12,9	12,4	0,6
Santiago QN	17,6	17,6	0,0	6,5	4,9	1,6	10,6	11,2	-0,6
Curicó	15,4	14,8	0,6	6,0	4,4	1,6	10,4	9,6	0,8
Chillán	14,2	14,1	0,1	3,9	4,2	-0,3	9,8	9,2	0,6
Concepción	14,5	14,0	0,5	6,7	6,0	0,7	11,3	10,0	1,3
Temuco	13,7	13,3	0,4	4,7	4,2	0,5	9,2	8,7	0,5
Valdivia	12,5	12,4	0,1	3,9	4,2	-0,3	9,0	8,3	0,7
Osorno	12,1	12,0	0,1	3,8	3,7	0,1	9,1	7,8	1,3
Puerto Montt	11,2	11,2	0,0	3,4	3,8	-0,4	8,6	7,5	1,1
Coyhaique	6,2	8,3	-2,1	-1,7	0,9	-2,6	5,3	4,6	0,7
Balmaceda	4,2	6,9	-2,7	-4,4	-1,2	-3,2	4,0	2,8	1,2
Punta Arenas	5,7	5,7	0,0	0,0	0,1	-0,1	2,9	2,9	0,0
Isla de Pascua	20,9	21,2	-0,3	15,6	15,7	-0,1	18,3	18,5	-0,2
J. Fernández	15,9	14,8	1,1	10,3	10,2	0,1	13,2	12,5	0,7

Climatología (1991-2020)

Precipitación Total Mensual (mm)				
Estaciones	Agosto	Promedio	Anom. (mm)	%
Putre	21,1	1,4	19,7	1407
Arica	13,5	0,1	13,4	16100
Iquique	16,0	0,2	15,8	7900
Calama	2,4	0,8	1,6	200
Antofagasta	14,8	0,8	14,0	1750
La Serena	18,0	12,7	5,3	42
Valparaíso	66,5	62,1	4,4	7
Santiago	52,4	44,1	8,3	19
Curicó	115,8	93,2	22,6	24
Chillán	189,4	123,9	65,5	53
Concepción	290,0	148,9	141,1	95
Temuco	211,7	135,4	76,3	56
Valdivia	236,8	241,8	-5,0	-2
Osorno	162,8	166,2	-3,4	-2
Puerto Montt	160,4	174,9	-14,5	-8
Coyhaique	64,2	117,0	-52,8	-45
Balmaceda	34,7	55,7	-21,0	-38
Punta Arenas	17,4	29,5	-12,1	-41
Isla de Pascua	138,6	97,1	41,5	43
J. Fernández	137,0	114,3	22,7	20